

Selenhochspannungsstabgleichrichter im Keramikrohr

Селеновые стержневые выпрямители высокого напряжения в керамической трубке

High-voltage rod-type selenium rectifiers in ceramic tube

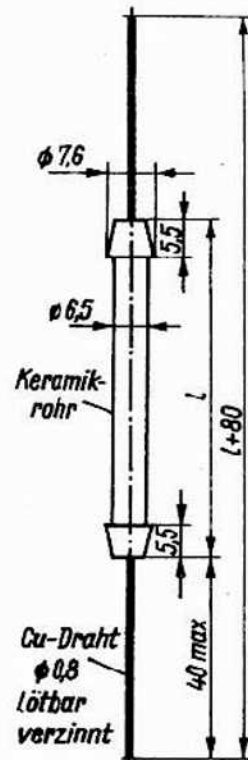
Typ	Kenndaten bei $\vartheta_a = -40...+40\text{ }^\circ\text{C}$				
	$U_{AN}$ V	$\hat{U}_{RS}$ kV	$I_{FN}$ mA	$\hat{I}_{FR}$ mA	l mm
E 2250 C 2,5	2250	9	2,5	200	50
E 3000 C 2	3000	10,7	2	150	60
E 3750 C 2	3750	14	2	150	70
E 4500 C 1,7	4500	17,5	1,7	100	85
E 6000 C 1,5	6000	22,6	1,5	100	110

Selenhochspannungsgleichrichter TS zur Gleichrichtung des Zeilenimpulses in Fernsehempfängern

Селеновый выпрямитель высокой частоты для выравнивания импульса строчек в телевизорах

High-voltage selenium rectifiers TS for the rectification of the line pulse in television sets

Typ	Kenndaten bei $\vartheta_a = -40...+50\text{ }^\circ\text{C}$					
	$U_R$ kV	$\hat{U}_{RR}$ kV	$U_{RS}$ kV	$I_{FN}$ mA	$\hat{I}_{FR}$ mA	l mm
TS 6,5	6,5	7,8	9,5			50
TS 9	9	10,8	13			60
TS 11	11	13,2	16	0,3	0,75	70
TS 13,5	13,5	16,0	18,5			85
TS 18	18	21,6	24,5			110
TS 20	20	24,0	26			120



# Kurzzzeichen

A	wirksame Fläche	$I_Z$	Z-Strom	$U_{CESat}$	Kollektor-Emitter-Sättigungsspannung
$C_c$	Gehäusekapazität	$\Delta I_Z$	Stabilität des Z-Stroms	$U_{CEV}$	Kollektor-Emitter-Sperrspannung bei in Sperrrichtung vorgepannter Emitterdiode
$C_{gss}$	Eingangskapazität	$I_O$	Ausgangsstrom	$U_D$	Blockierspannung
$C_j$	Sperrschichtkapazität	$I_{O_0}$	Richtstrom	$U_{DB}$	Drain-Bulk-Spannung
$C_L$	Lastkapazität	$\Delta I_{O_0}$	Richtstromdifferenz	$U_{DG}$	Drain-Gate-Spannung
$C_{tot}$	Gesamtkapazität	l	Länge	$U_{DM}$	Scheitelblockierspannung
CMR	Gleichtaktunterdrückung	L	Leuchtdichte	$\hat{U}_{DR}$	Periodische Spitzenspannung
$d_{\dot{u}}$	Übertragungsdämpfung	$L_S$	Serieninduktivität	$\hat{U}_{DS}$	Nichtperiodische Spitzenspannung
E	Beleuchtungsstärke	$N_O$	Ausgangslastfaktor	$U_{DS}$	Drain-Source-Spannung
F	Rauschfaktor	$P_{in}$	HF-Eingangsleistung	$U_e$	Eingangsspannung
f	Frequenz	$\hat{P}_{RS}$	Nichtperiodische Sperrverlustleistung	$U_{EBO}$	Emitter-Basis-Sperrspannung
$f_{h21b}$	Grenzfrequenz in Basisschaltung	$P_{tot}$	Totale Verlustleistung	$U_F$	Durchlaßgleichspannung
$f_{h21e}$	Grenzfrequenz in Emitterschaltung	$R_{\dot{a}q}$	Äquivalentwiderstand	$U_{GB}$	Gate-Bulk-Spannung
$f_Q$	Gütegrenzfrequenz	$R_{BE}$	Basis-Emitter-Widerstand	$U_{GS}$	Gate-Source-Spannung
$f_T$	Transitgrenzfrequenz	$R_{DS}$	Drain-Source-Widerstand	$U_{GT}$	Zündspannung
$G_{pb}$	HF-Leistungsverstärkung in Basisschaltung	$R_e$	Eingangswiderstand	$U_{HF}$	HF-Spannung
h	Höhe	$R_g$	Generatorwiderstand	$U_I$	Gleichtakteingangsspannung
$h_{21E}$	Gleichstromverstärkung	$R_L$	Lastwiderstand	$U_{ID}$	Differenzeingangsspannung
$h_{21e}$	Kurzschlußstromverstärkung in Emitterschaltung	$R_{th}$	Gesamtwärmewiderstand	$U_{IO}$	Eingangsoffsetspannung
$I_B$	Basisstrom	$R_{thi}$	Innerer Wärmewiderstand	$U_R$	Sperrspannung, Sperrgleichspannung
$I_C$	Kollektorstrom	$r_F$	Durchlaßwiderstand	$U_{RM}$	Scheitelsperrspannung
$I_{CBO}$	Kollektorreststrom bei offenem Emitter	$r_R$	Sperrwiderstand	$\hat{U}_{RR}$	Periodische Spitzensperrspannung
$I_{CES}$	Kollektor-Emitter-Reststrom	$r_Z$	Z-Widerstand	$\hat{U}_{RS}$	Nichtperiodische Spitzensperrspannung
$I_{CEV}$	Kollektorreststrom bei in Sperrrichtung vorgepannter Emitterdiode	S	Empfindlichkeit	$U_S$	Betriebsspannung
$I_D$	Drainstrom	$t_{DHL}$	Einschaltverzögerungszeit	$U_{SB}$	Source-Bulk-Spannung
$I_{D_0}$	Blockierstrom	$t_{DLH}$	Ausschaltverzögerungszeit	$U_T$	Schwellspannung
$\hat{I}_{DR}$	Drainspitzenstrom	$t_{gt}$	Zündzeit	$U_Z$	Z-Spannung
$I_e$	Strahlstärke	$t_{off}$	Ausschaltzeit	$\Delta U_Z$	Stabilität der Z-Spannung
$I_F$	Flußstrom, Durchlaßgleichstrom	$t_{on}$	Einschaltzeit	$U_{OH}$	High-Ausgangsspannung
$\bar{I}_F$	Dauergrenzstrom	$t_q$	Freiwerdezeit	$U_{OL}$	Low-Ausgangsspannung
$\hat{I}_F$	Effektiver Durchlaßstrom	$t_r$	Anstiegzeit	$V_U$	Spannungsverstärkung
$I_{FM}$	Scheiteldurchlaßstrom	$t_{rr}$	Sperrerrholungszeit	$Y_{21}$	Steilheit
$I_{FN}$	Nenndurchlaßstrom, Nenngleichstrom	$t_s$	Speicherzeit	$\theta_a$	Umgebungstemperatur
$\hat{I}_{FR}$	Periodischer Spitzensstrom	$TK_{UZ}$	Temperaturkoeffizient der Z-Spannung	$\theta_c$	Gehäusetemperatur
$\hat{I}_{FS}$	Nichtperiodischer Spitzensstrom	$U_{AN}$	Nennanschlußspannung (Effektivwert)	$\theta_j$	Sperrschichttemperatur
$I_{GT}$	Zündstrom	$U_{BE}$	Basis-Emitter-Spannung	$\Delta\theta$	Temperaturdifferenz
$I_H$	Haltestrom	$U_{(BR)}$	Durchbruchspannung	$\lambda$	Emissionswellenlänge
$I_I$	Eingangsbiasstrom	$U_{CB}$	Kollektor-Basis-Spannung	$\lambda_p$	Wellenlänge maximaler Emission
$I_{IO}$	Eingangsoffsetstrom	$U_{CBO}$	Kollektor-Basis-Sperrspannung	$\Delta\lambda$	Spektrale Halbwertsbreite
$I_R$	Sperrstrom	$U_{CE}$	Kollektor-Emitter-Spannung	$\tau_i$	Einschaltzeitkonstante
$I_T$	Durchlaßstrom	$U_{CEO}$	Kollektor-Emitter-Sperrspannung bei offener Basis		
$\bar{I}_T$	Dauergrenzstrom	$U_{CER}$	Kollektor-Emitter-Sperrspannung bei endlichem Basis-Emitter-Widerstand		
$\hat{I}_T$	Effektiver Durchlaßstrom	$U_{CERest}$	Kollektorrestspannung		
$\hat{I}_{TR}$	Periodischer Spitzensstrom	$U_{CES}$	Kollektorsperrspannung bei kurzgeschlossenem Emitterdiode		